

# Электрические и сократительные свойства гладкой мышцы бедренной артерии кролика

А. В. Гурковская

Установлено, что в активации сокращения гладкомышечных клеток (ГМК) участвуют внеклеточные ионы  $\text{Ca}^{2+}$ , входящие в клетки через Са-каналы различных типов: потенциалозависимые инактивирующиеся, ответственные за генерацию потенциалов действия (ПД) и активацию фазных сокращений, потенциалозависимые неинактивирующиеся, ответственные за тоническое сокращение и хемоуправляемые [7]. ГМК кровеносных сосудов эластического типа, к которым относится и ГМК бедренной артерии, в нормальных условиях не генерируют ПД. Тем не менее было показано, что в их мембране присутствуют Са-каналы, способные при определенных условиях обеспечить регенеративное возбуждение и фазное сокращение [1, 2, 4, 8, 9, 11]. Исследования легочной и мозговой артерий, а также воротной вены показали, что участие инактивирующихся потенциалозависимых Са-каналов в сократительных реакциях разных типов кровеносных сосудов неодинаково [3, 5, 6]. Настоящая работа посвящена исследованию свойств потенциалозависимых Са-каналов в мембране ГМК бедренной артерии. С этой целью мы исследовали зависимость сократительных реакций мышечных полосок этого сосуда от изменений трансмембранных потенциала, вызываемых гиперкалиевым раствором или электрическим током.

## Методика

Опыты проводили на мышечных полосках бедренной артерии кролика (вырезанных по спирали) с помощью модифицированного метода одинарного сахарозного мостика. Состав раствора Кребса, способы отведения и регистрации электрических и сократительных реакций описаны нами ранее [5]. Концентрацию ионов  $\text{K}^+$  в растворе Кребса увеличивали добавлением к нему необходимого количества сухой соли  $\text{KCl}$ .

## Результаты

ГМК бедренной артерии не обладают спонтанной активностью. При действии на мышечные полоски импульсами гипер- и деполяризующего тока возникают соответственно ан- и катэлектротонические потенциалы (рис. 1, а, б). Амплитуда анэлектротонических потенциалов линейно зависит от силы гиперполаризующего тока, а для деполяризующих токов эта зависимость нарушалась из-за уменьшения сопротивления мембранны при пороговых и больших токах. На вольт-амперной характеристике это отражается в загибе кривой в сторону оси токов (см. рис. 1, в). На катэлектротоническом потенциале возникает градуальный потенциал, амплитуда которого растет с увеличением деполяризующего тока. При включении относительно сильного гиперполаризующего тока часто наблюдается анодразмыкателный ответ, который также имеет градуальный характер. Эти градуальные потенциалы сопровождаются фазными сокращениями мышечной полоски (см. рис. 1, а). В нормальном растворе Кребса наблюдавшиеся градуальные потенциалы никогда не перерастали в ПД. Полноценные ПД можно было вызвать после добавления к раствору Кребса ТЭА-блокатора выходящего калиевого тока. На рис. 1, а показано, что ТЭА (концентрация 10 ммоль/л) приводит к деполяризации ГМК до 5 мВ и увеличению электротонических потенциалов. Эта деполяризация не сопровождается изменением исходного мышечного напряжения. На фоне действия ТЭА деполяризация ГМК электрическим током выше его порогового уровня приводила к генерации ПД, сопровождающихся фазными сокращениями мышцы. Амплитуда сокращений значительно увеличивалась по сравнению с исходной (см. рис. 1, а, б).

Длительная до 5 мВ не сопротивления напряжения ше, чем на 5 мВ ческого сокращения деполяриза

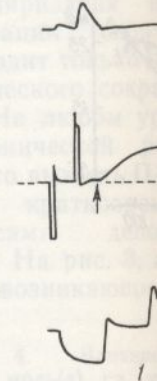


Рис. 1. Влияние ТЭА ГМК бедренной артерии  
а — записи реакций на потенциалы; стрелкой — потенциала покоя; б — в растворе Кребса; 2 — в растворе Кребса; 2

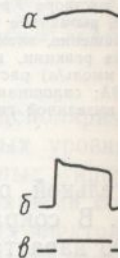


Рис. 2. Сократительные импульсы диктора  
а — сократительные импульсы диктора различной силы

увеличивалось и понент сокращения тонический компонент до тех пор пока

Из-за выпрямления поляризации, которая ограничена 10—15 мВ, туды сокращения в пазуке потенциала концентраций в

такомышечных клеток, вкл.ющие в клетки через имые инактивирующиеся (ПД) и активирующиеся, управляемые [7]. ГМК нормально относится к ГМК генерирующим ПД. Тем не менее существуют Ca-каналы, регенеративное возбуждение которых в легочной артерии, что участие ионов в сократительных динамико [3, 5, 6]. На потенциалозависимых линиях. С этой целью мы изучали мышечные полоски генератора, вызываемых импульсами.

рии кролика (вырезанных из пупочного сахара мостика) электрических и сократительных ионов  $K^+$  в растворе Кребса сухой соли KCl.

ой активностью. При деполяризующих тонических потенциалах линейно для деполяризующих сопротивления сопротивлениям амперной характеристики оси токов (см. рис. 1, a). В нормальных потенциалах никогда не было вызвано после ходящего калиевого (10 мМоль/л) приводило к генерации мышцы. Сравнению с

Длительная гипер- или деполяризация ГМК электрическим током до 5 мВ не сопровождалась заметными изменениями исходного мышечного напряжения полоски. Катэлектротоническая деполяризация больше, чем на 5 мВ приводила к возникновению только медленного тонического сокращения (рис. 2). По мере увеличения катэлектротонической деполяризации и градиента потенциала сокращение мышцы

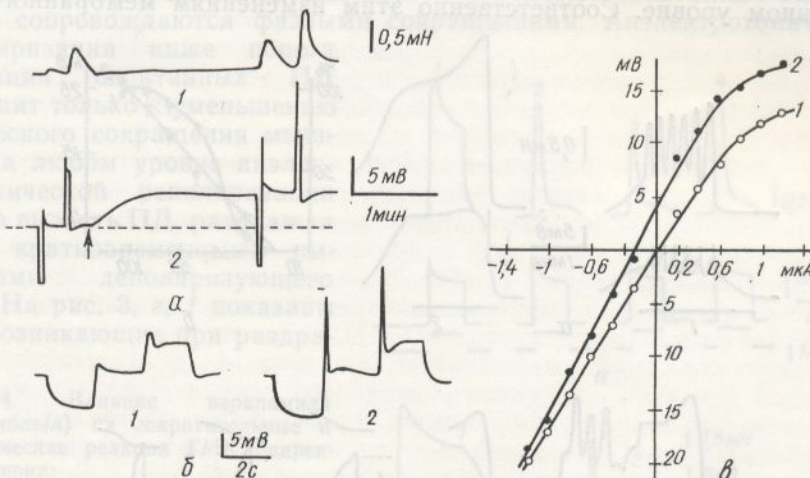


Рис. 1. Влияние ТЭА (10 мМоль/л) на мембранный потенциал и сократительные реакции ГМК бедренной артерии:  
а — запись реакций на диаграммной ленте КСП-4 (1 — сокращение; 2 — ан- и катэлектротонические потенциалы; стрелкой показано начало действия ТЭА; пунктирующая линия — исходный уровень потенциала покоя); б — записи этих же потенциалов с экрана осциллографа (1 — в нормальном растворе Кребса; 2 — в растворе Кребса с ТЭА); в — вольт-амперная характеристика (1 — в нормальном растворе Кребса; 2 — в растворе Кребса с ТЭА).

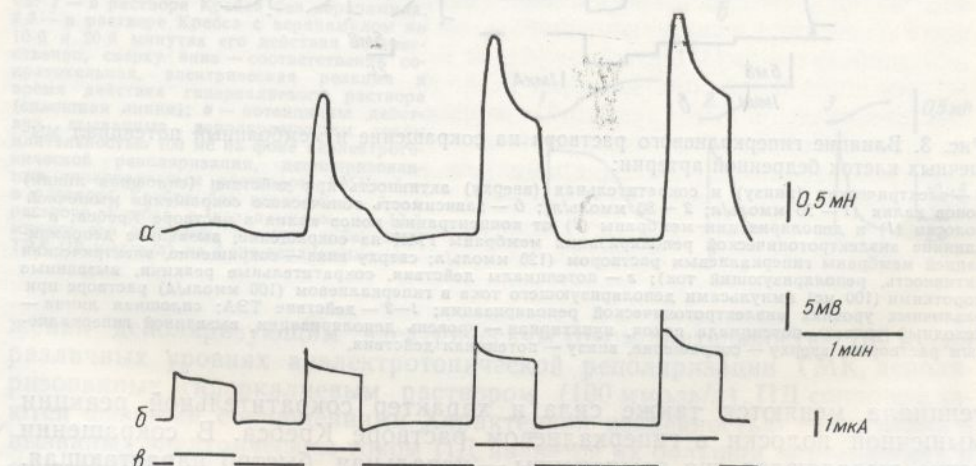


Рис. 2. Сократительные реакции ГМК бедренной артерии в ответ на сдвиг потенциала покоя импульсами деполяризующего тока:  
а — сократительные реакции; б — катэлектротонические потенциалы; в — импульсы деполяризующего тока различной силы.

увеличивалось и становилось фазнотоническим. При этом фазный компонент сокращения увеличивался меньше, чем тонический. Кроме того, тонический компонент сокращения удерживался на постоянном уровне до тех пор пока сохранялась катэлектротоническая деполяризация.

Из-за выпрямляющих свойств мембранны катэлектротоническая деполяризация, которую можно было вызвать деполяризующим током, ограничена 10—15 мВ. Поэтому, чтобы проследить зависимость амплитуды сокращения от меры деполяризации ГМК в более широком диапазоне потенциалов, использовали гиперкалиевый раствор с различной концентрацией в нем  $K^+$  (рис. 3). Увеличение концентрации ионов  $K^+$

в растворе Кребса до 20 моль/л вызывает медленно нарастающую деполяризацию, достигающую 5 мВ, на которой возникают ритмические ПД, сопровождающиеся фазными сокращениями (см. рис. 3, а, 1). Увеличение концентрации ионов  $K^+$  в растворе Кребса до 40 моль/л и больше приводило к быстро нарастающей деполяризации, в начале которой возникал ПД, после чего деполяризация устанавливалась на постоянном уровне. Соответственно этим изменениям мембранныго по-

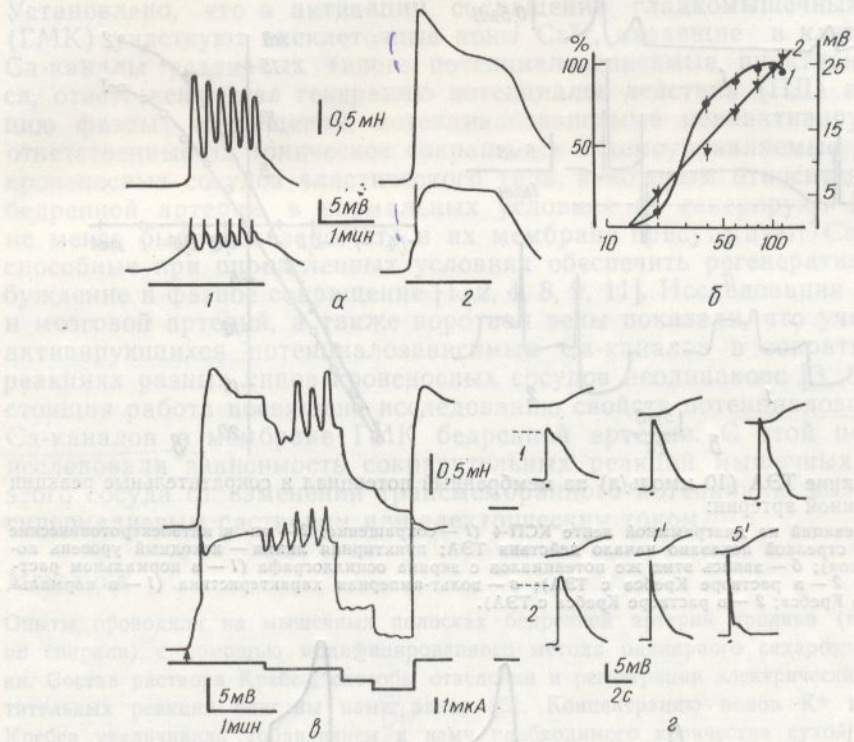


Рис. 3. Влияние гиперкалиевого раствора на сокращение и мембранный потенциал мышечных клеток бедренной артерии:

а — электрическая (внизу) и сократительная (вверху) активность при действии (сплошная линия) ионов калия ( $1 - 20$  моль/л;  $2 - 80$  моль/л); б — зависимость тонического сокращения мышечной полоски (1) и деполяризации мембрани (2) от концентрации ионов калия в растворе Кребса; в — влияние анэлектротонической реполяризации мембрани ГМК на сокращение, вызванное деполяризацией мембрани гиперкалиевым раствором (120 моль/л; сверху вниз — сокращение, электрическая активность, реполяризующий ток); г — потенциалы действия, сократительные реакции, вызванные короткими (100 мс) импульсами деполяризующего тока в гиперкалиевом (100 моль/л) растворе при различных уровнях анэлектротонической реполяризации; 1—2 — действие ТЭА; сплошная линия — исходный уровень потенциала покоя, пунктирная — уровень деполяризации, вызванной гиперкалиевым раствором; вверху — сокращение, внизу — потенциал действия.

тенциала меняются также сила и характер сократительной реакции мышечной полоски в гиперкалиевом растворе Кребса. В сокращении четко выделяются две компоненты — начальная, быстро нарастающая, фазная и последующая тоническая. Фазная компонента всегда больше тонической и соответствует ПД, возникающему в начале деполяризации, тоническая — стойкой калиевой деполяризации (см. рис. 3, а, 2).

На рис. 3, б показана графическая зависимость деполяризации и тонической компоненты сокращения от концентрации ионов  $K^+$  в растворе Кребса. Видно, что тоническое сокращение мышцы имеет S-образную зависимость от деполяризации ГМК. На рис. 3, в показана зависимость расслабления мышечной полоски бедренной артерии от анэлектротонической реполяризации клеток, полностью деполяризованных ионами  $K^+$  (120 моль/л). Видно, что чем больше анэлектротоническая реполяризация, тем значительнее уменьшение амплитуды тонического сокращения. Возвращение с помощью реполяризующего тока потенциала покоя (ПП) к исходному значению приводит к полному устраниению сокращения, вызванного гиперкалиевым раствором. Последующее выключение поляризующего тока ведет к восстановлению и калиевой

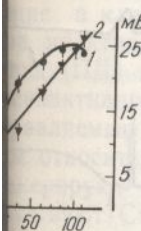
деполяризации четкоствует анеключения 7 мВ) анкалиевыми торые со реполяризацией приводит тонически цы. На л тротониче можно вы ГМК кр пульсами тока. На ПД, возни

Рис. 4. ( $10^{-6}$  моль, электрический ной артерии  
а — реакции на импульсы деполяризации Кребса в растворе Кребса с концентрацией калия 20 моль/л; б — зависимость тонического сокращения мышечной полоски от концентрации ионов калия в растворе Кребса; в — влияние гиперкалиевым раствором (120 моль/л) на сокращение, вызванное деполяризацией мембрани гиперкалиевым раствором (120 моль/л; сверху вниз — сокращение, электрическая активность, реполяризующий ток); г — потенциалы действия, сократительные реакции, вызванные короткими (100 мс) импульсами деполяризующего тока в гиперкалиевом (100 моль/л) растворе при различных уровнях анэлектротонической реполяризации; 1—2 — действие ТЭА; сплошная линия — исходный уровень потенциала покоя, пунктирная — уровень деполяризации, вызванной гиперкалиевым раствором; вверху — сокращение, внизу — потенциал действия.

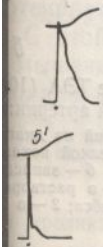
жений дифференцированно различны, различны фазы вызванных основных ской реполяризации вило, пре вышеннем Кребса для ПД значительные эти ПД полоски.

Фазы бедренной артерии скому блокированию ведут к сокращению сокращающим полное устранимую фазная калиевым раствором.

дленно нарастающую возникают ритмичными (см. рис. 3, а, Кребса до 40 моль/л гиперполяризации, в начале устанавливалась на уровне мембранныго по-



б



бранный потенциал мышечной

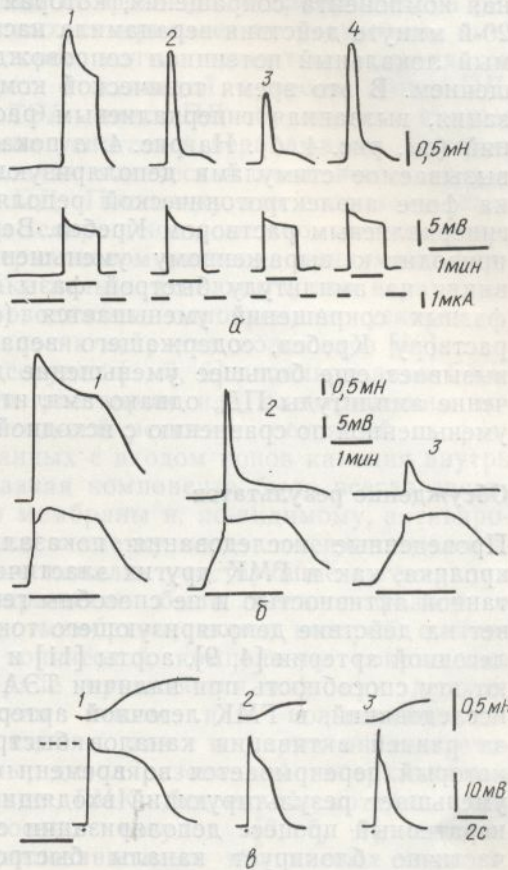
действии (сплошная линия) сокращения мышечной ткани в растворе Кребса; в — сокращение вызванное деполяризующим током, электрическая реакция, вызванная (100 моль/л) раствором при ТЭА; сплошная линия — сокращение, вызванное гиперкалиеви-

тельной реакции бса. В сокращении стро нарастающая, всегда большее начальне деполяризации (см. рис. 3, а, 2). Гиперполяризации и тоников  $K^+$  в растворе имеет S-образную кривую зависимости от андротонически ванных ионами  $K^+$  гиперполяризация сокращения потенциала по мере устранению сокращения. Последующее сокращение и калиевой

деполяризации, и амплитуды тонического сокращения, в начале которого четко выделяется фазная компонента. Эта компонента соответствует анодразмыкатальному возбуждению, возникающему после выключения гиперполяризующего тока. Часто на уровне небольшой (до 7 мВ) андротонической реполяризации деполяризованных гиперкалиевым раствором мышечных клеток возникают спонтанные ПД, которые сопровождаются фазными сокращениями. Андротоническая реполяризация ниже порога генерации спонтанных ПД приводит только к уменьшению тонического сокращения мышцы. На любом уровне андротонической реполяризации можно вызвать ПД, раздражая ГМК кратковременными импульсами деполяризующего тока. На рис. 3, г, 1 показаны ПД, возникающие при раздра-

Рис. 4. Влияние верапамила ( $10^{-6}$  моль/л) на сократительные и электрические реакции ГМК бедренной артерии:

а — реакции вызванные длительными стимулами деполяризующего тока (1 — в растворе Кребса без верапамила; 2, 3, 4 — в растворе Кребса с верапамилом на 10-, 20-, и 25-й минутах его действия соответственно; сверху вниз — сокращение, катэлектротонические потенциалы, импульсы деполяризующего тока); б — реакции вызванные гиперкалиевым (80 моль/л) раствором Кребса: 1 — в растворе Кребса без верапамила, 2, 3 — в растворе Кребса с верапамилом на 10-й и 20-й минутах его действия соответственно; сверху вниз — соответственно сократительная, электрическая реакция и время действия гиперкалиевого раствора (сплошная линия); в — потенциалы действия, вызванные деполяризующим током длительностью 100 мс на фоне андротонической реполяризации, деполяризованных гиперкалиевым раствором ГМК: 1 — в растворе Кребса без верапамила, 2 — в растворе Кребса с верапамилом на 10-й минуте его действия; 3 — при добавлении ТЭА (10 моль/л) на фоне верапамила.



жении деполяризующим электрическим током длительностью 100 мс, на различных уровнях андротонической реполяризации ГМК, деполяризованных гиперкалиевым раствором (100 моль/л). ПД сопровождаются фазными сокращениями. Характерной особенностью спонтанных и вызванных электрическим током ПД является их большая длительность в основном за счет выраженного плато. С увеличением андротонической реполяризации амплитуда вызванных ПД увеличивается, а их длительность несколько уменьшается. Спонтанные и вызванные ПД, как правило, превышают общий уровень гиперкалиевой деполяризации. Это превышение существенно увеличивается, если в наружный раствор Кребса добавить ионы ТЭА (рис. 3, г, 2). При этом продолжительность ПД значительно уменьшается за счет подавления плато ПД. Однако эти ПД также сопровождаются фазными сокращениями мышечной полоски.

Фазная и тоническая компоненты сокращения мышечной полоски бедренной артерии оказались неодинаково чувствительными к органическому блокатору кальциевого тока верапамилу. На рис. 4, а показано действие верапамила ( $10^{-6}$  моль/л) на сокращение, вызванное деполяризующим током. Верапамил на 10-й минуте действия вызывает почти полное угнетение тонической компоненты сокращения, в то время как фазная компонента уменьшается незначительно (см. рис. 4, а). На 20-й

минуте действия угнетение верапамилом фазной компоненты достигает 50 %, однако увеличение силы деполяризующего тока приводит к восстановлению фазного сокращения мышцы (см. рис. 4, а, 4). Подобное влияние оказывал верапамил и на сокращение, вызванное гиперкалиевой деполяризацией ГМК. На 10-й минуте действия верапамила ( $10^{-6}$  моль/л) гиперкалиевая деполяризация не приводит к выраженному тоническому сокращению мышечной полоски, в то время как фазная компонента сокращения, которая была вызвана ПД, остается. На 20-й минуте действия верапамила наступает угнетение ПД и наблюдаемый локальный потенциал сопровождается небольшим фазным сокращением. В это время тонические компоненты уже нет, хотя деполяризация, вызванная гиперкалиевым раствором, не претерпевает изменений (см. рис. 4, б). На рис. 4, в показано влияние верапамила на ПД, вызываемое стимулами деполяризующего тока длительностью 100 мс на фоне анэлектротонической реполяризации деполяризованных ГМК гиперкалиевым раствором Кребса. Верапамил на 10-й минуте действия приводит к выраженному уменьшению длительности плато ПД, не влияя на амплитуду быстрой фазы ПД. В этих условиях амплитуда фазных сокращений уменьшается (см. рис. 4, в, 2). Добавление к раствору Кребса, содержащего верапамил, ионов ТЭА ( $10$  ммол/л) вызывает еще большее уменьшение длительности плато ПД и увеличение амплитуды ПД, однако амплитуда фазного сокращения остается уменьшенной по сравнению с исходной (см. рис. 4, в, 3).

### Обсуждение результатов

Проведенные исследования показали, что ГМК бедренной артерии кролика, как и ГМК других эластических артерий, не обладают спонтанной активностью и не способны генерировать полноценные ПД в ответ на действие деполяризующего тока [1, 4, 8, 9, 11]. Они, как и ГМК легочной артерии [4, 9], аорты [11] и мозговых артерий [1], приобретают эту способность при наличии ТЭА. Как показали результаты наших исследований, в ГМК легочной артерии генерация ПД затруднена из-за ранней активации каналов быстрого выходящего калиевого тока, который перекрывает во времени с входящим кальциевым током и уменьшает регулирующий входящий ток до такой степени, что регенеративный процесс деполяризации становится невозможным [2]. ТЭА частично блокирует каналы быстрого калиевого тока и создаются условия для генерации полноценных ПД. Аналогичная ситуация, по-видимому, создается и в ГМК бедренной артерии. Помимо каналов быстрого калиевого тока, ТЭА частично блокирует и калиевые каналы, принимающие участие в генезе потенциала покоя, о чем свидетельствует деполяризация мембранны и увеличение ее сопротивления под действием ТЭА.

Генерация ПД этими ГМК может быть также вызвана деполяризацией их мембранны раствором Кребса, содержащим повышенную концентрацию ионов калия. Причем, если деполяризация мембранны на 5 мВ, вызванная умеренным увеличением концентрации ионов  $K^+$  (до  $20$  ммол/л), приводит к спонтанной генерации ПД и фазным сокращениям, то такая же деполяризация мембранны электрическим током не сопровождается возникновением ПД. Различие в реакциях, вероятно, связано с тем, что при повышении наружной концентрации ионов калия уменьшается калиевый равновесный потенциал, а следовательно, уменьшается и выходящий калиевый ток, который в этих условиях в меньшей мере будет препятствовать регенеративному процессу деполяризации. При увеличении в растворе концентрации ионов  $K^+$  выше  $20$  ммол/л ПД возникает только в начале быстро нарастающей деполяризации мембранны. Это связано с тем, что дальнейшая деполяризация мембранны приводит к инактивации кальциевых каналов. Однако, если деполяризованную гиперкалиевым раствором ГМК реполяризовать электрическим током до исходного уровня, то инактивация каль-

циевых каналов генерировать ПД неспособствует. Результаты отчета на электрополяризации показывают четко выраженные ионами ТЭА. Остающаяся в клетку ионами ТЭА. Может уменьшением что в формирование и кальциевые ионами ТЭА. Иактивацию

Как и в бедренной артерии приводит к тонической деполяризации из-за с электрической волны, вызванной ионами ТЭА. Инактивация ПД. Тоническая деполяризация зависит от уровня ионов ТЭА. Уровень ионов ТЭА определяется концентрацией ионов ТЭА в растворе. Же как и в легочной артерии, связана с входом ионов ТЭА в клетку, что приводит к деполяризации мембранны. Частично блокирует калиевые каналы, что неинактивирует калиевые каналы. Иактивацию калиевых каналов и фазные сокращения ПД за-

Таким образом, бедренной артерии с высокими концентрациями кальциевого и фазных сокращений ПД за-

енты достига-  
ка приводят к  
4, а, 4). Подоб-  
ванное гиперка-  
ия верапамила  
ит к выраженному  
время как фаз-  
Д, остается. На  
Д и наблюдае-  
фазным сокра-  
хотя деполяри-  
певает измене-  
амила на ПД,  
ностью 100 мс  
зованных ГМК  
инуте действия  
плато ПД, не  
иях амплитуда  
Добавление к  
(10 ммол/л)  
ПД и увели-  
дения остается

ной артерии  
бладают спон-  
нны ПД в от-  
и, как и ГМК  
[1], приобрета-  
льтаты наших  
атруднена из-  
лиевого тока,  
зывом током и  
ени, что реген-  
ным [2]. ТЭА  
и создаются  
ситуация, по-  
тимо каналов  
евые каналы,  
видетельству-  
ния под дей-

на деполяри-  
щенную кон-  
мембранны на  
ионов  $K^+$  (до  
ым сокраще-  
им током не  
ях, вероятно,  
ионов калия  
едовательно,  
х условиях в  
ессу деполя-  
тов  $K^+$  выше  
ющей депо-  
деполяриза-  
лов. Однако,  
реполяризо-  
вация каль-

циевых каналов устраняется и ГМК опять приобретают способность генерировать ПД. В связи с тем, что в этих условиях калиевый равновесный потенциал оказывается положительным по отношению к искусственно поддерживаемому потенциальному покоя, калиевый ток при деполяризации становится входящим и не только не препятствует, но даже способствует развитию регенеративной деполяризации в виде ПД. Результаты наших экспериментов показали, что ПД, возникающие в ответ на электрическую стимуляцию на фоне анэлектротонической деполяризации ГМК, деполяризованных гиперкалиевым раствором, имеют четко выраженное плато, которое почти полностью устраниется ионами ТЭА. Это свидетельствует о калиевой природе плато ПД. Остающаяся в условиях наличия ТЭА часть ПД обусловлена входом в клетку ионов  $Ca^{2+}$ , поскольку она угнетается верапамилом. Верапамил ( $10^{-6}$  моль/л) помимо подавления тонической компоненты сокращения укорачивает также плато ПД. Поскольку это сопровождается уменьшением фазной компоненты сокращения, можно предполагать, что в формировании плато в гиперкалиевом растворе принимают участие и кальциевые каналы. Однако нельзя исключить, что верапамил может уменьшать и калиевую проводимость одновременно ускоряя ее инактивацию, как это было показано на нейронах моллюсков [10].

Как и в других кровеносных сосудах [1, 3, 5] деполяризация ГМК бедренной артерии гиперкалиевым раствором или электрическим током приводит к сложной сократительной реакции, состоящей из фазной и тонической компонент, связанных с входом ионов кальция внутрь клетки из внеклеточной среды. Фазная компонента была всегда связана с электрическим возбуждением мембранны и, по-видимому, активировалась ионами кальция, входящими в клетку через потенциалозависимые инактивирующиеся кальциевые каналы, участвующие в генерации ПД. Тоническая компонента сокращения была меньше фазной и зависела от уровня деполяризации мембранны, порог которой составлял около 5 мВ. Зависимость тонической компоненты сокращения от уровня потенциала на мемbrane проявляется как при деполяризации мембранны электрическим током или повышении наружной концентрации ионов калия, так и при анэлектротонической деполяризации мембранны, деполяризованный гиперкалиевым раствором. Тоническое сокращение ГМК бедренной артерии, так же как и ГМК других кровеносных сосудов [3, 5, 6], вероятно, связано с активацией потенциалозависимых кальциевых каналов, вход ионов кальция через которые продолжается до тех пор, пока длится деполяризация. Результаты опытов с верапамилом показывают, что неинактивирующиеся кальциевые каналы имеют большую чувствительность к этому блокатору, чем быстрые инактивирующиеся потенциалозависимые кальциевые каналы, ответственные за генерацию ПД и фазные сокращения мышечных клеток. Соотношение между амплитудой фазного и тонического сокращения ГМК для бедренной артерии оказалось примерно таким же, как и для мозговых артерий [1, 3], но отличалось от соотношения между значениями этих показателей ГМК для легочной артерии, тоническая компонента сокращения которых превышала фазную [5]. Это может указывать на относительно больший вклад неинактивирующихся кальциевых каналов в сократительные реакции ГМК легочной артерии, чем бедренной или мозговых артерий.

Таким образом, проведенные исследования показали, что ГМК бедренной артерии обладают инактивирующими потенциалозависимыми кальциевыми каналами, способными обеспечивать генерацию ПД и фазные сокращения мышечных клеток. В нормальных условиях генерация ПД затруднена из-за ранней активации калиевой проводимости мембранны. Помимо инактивирующихся, ГМК бедренной артерии содержат неинактивирующиеся потенциалозависимые кальциевые каналы, которые обеспечивают тоническое сокращение мышечных клеток при стойкости их деполяризации, и которые больше чувствительны к верапамилу, чем инактивирующиеся кальциевые каналы.

ELECTRICAL AND CONTRACTILE PROPERTIES  
OF THE SMOOTH MUSCLE OF FEMORAL ARTERY

A. V. Gurkovskaya

Smooth muscle cells of the femoral artery in the normal Krebs solution have no spontaneous activity. Membrane depolarization by current injection initiates only local responses. Moderate increase of  $K^+$  ions or addition of TEA to external solution provides action potential (AP) generation followed by phasic contractions. Prolonged depolarization over critical level (5 mV) by application of high  $K^+$  solution or injection of constant current causes tonic contraction proportional to depolarization. Phasic contraction, followed by the initial spike on the rising phase of depolarization always exceeds the tonic one. Anelectrotonic repolarization of muscle cells depolarized in high  $K^+$  solution is followed by their relaxation to the initial level. Repolarized cells exhibit elevated excitability. Phasic and tonic components of contraction are found to have different sensitivity to verapamil. These results suppose the existence of two types of the voltage-dependent Ca-channels in the membrane of smooth muscle cells of femoral artery: fast inactivating ones responsible for AP generation and phasic contraction and slow non-inactivating ones responsible for tonic contractions. Under normal conditions AP generation is hampered by early activation of  $K^+$  permeability.

A. A. Bogomoletz Institute of Physiology, Academy of Sciences  
of the Ukrainian SSR, Kiev

1. Бурый В. А., Гокина Н. И., Гурковская А. В. Электрические и сократительные свойства гладкомышечных клеток мозговых артерий // Физиол. журн. СССР.—1981.—67, № 6.—С. 1399—1403.
2. Бурый В. А., Гурковская А. В. Трансмембранные ионные токи в гладкой мышце легочной артерии // Бюл. эксперим. биологии и медицины.—1980.—93, № 11.—С. 519—521.
3. Гокина Н. И., Гурковская А. В., Шуба М. Ф. // Исследование механизмов активации фазного и тонического сокращения гладких мышц мозговых артерий // Физиол. журн.—1983.—29, № 6.—С. 684—690.
4. Гурковская А. В. Влияние тетраэтиламмония на электрофизиологические свойства гладкомышечных клеток легочной артерии // Бюл. эксперим. биологии и медицины.—1977.—83, № 2.—С. 134—135.
5. Гурковская А. В., Шуба М. Ф., Бурый В. А. О природе электромеханической связи в гладкомышечных клетках легочной артерии // Физиол. журн. СССР.—1983.—69, № 8.—С. 1065—1073.
6. Тараненко В. М., Кочемасова Н. Г., Никитина Е. И., Шуба М. Ф. // Селективное торможение верапамилом тонической компоненты калиевой контрактуры гладкомышечных клеток воротной вены // Бюл. эксперим. биологии и медицины.—1978.—86, № 9.—С. 311—314.
7. Шуба М. Ф. Пути и механизмы трансмембранного входа в гладкомышечные клетки ионов кальция, участвующих в активации сокращения // Физиол. журн.—1981.—27, № 4.—С. 533—541.
8. Casteels R., Kitamura K., Kuriyama H., Suzuki H. The membrane properties of the smooth muscle cells of the rabbit main pulmonary artery // J. Physiol.—1977.—271, N 1.—P. 41—61.
9. Haeusler G. Effect of TEA on membrane potential and contraction of vascular smooth muscle // Experientia.—1974.—30, N 6.—P. 695—696.
10. Kostyuk P. G., Krishtal O. A., Doroshenko P. A. Outward currents in isolated snail neurones. III. Effect of verapamil // Comp. Biochem. Physiol.—1975.—51 c.—P. 269—274.
11. Mekata F. Rectification in the smooth muscle cell membrane of rabbit aorta // J. Physiol.—1976.—258, N 3.—P. 269—278.

Ин-т физиологии им. А. А. Богомольца  
АН УССР, Киев

Поступила 19.05.86